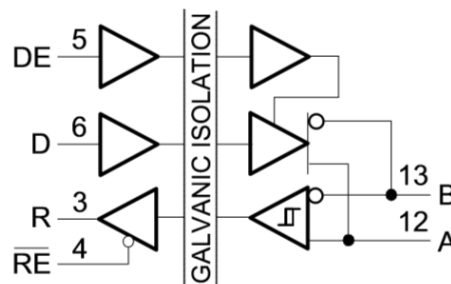


## 特点:

- 符合 TIA/EIA-485-A 标准
- 2.5V~5.5V  $V_{CC1}$ ， 4.5V~5.5V  $V_{CC2}$  电源范围， 半双工；
- 总线端口 ESD 保护能力 HBM 达到 15KV 以上；
- 1/8 单位负载， 允许最多 256 个器件连接到总线；
- 驱动器短路输出保护， 接收器开路失效保护；
- 低功耗关断功能；
- 在电噪声环境中的数据传输速率可达到 500Kbps 以上
- 宽温度范围： -40°C~125°C
- 具有较强的抗噪能力；
- 高 CMTI:  $\pm 100\text{kV}/\mu\text{s}$  (典型值)
- 高达 5000  $V_{RMS}$  隔离耐压
- 隔离栅寿命: >40 年
- 宽体 SOIC16 封装， 符合 RoHS 标准

## 功能示意框图:



功能示意

## 描述

SIT3485ISO 是一款电容隔离的半双工 RS-485 收发器， 总线端口 ESD 保护能力 HBM 达到 15KV 以上， 功能完全满足 TIA/EIA-485 标准要求的 RS-485 收发器。

SIT3485ISO 包括一个驱动器和一个接收器， 两者均可独立使能与关闭。 当两者均禁用时， 驱动器与接收器均输出高阻态。 SIT3485ISO 具有 1/8 负载， 允许 256 个 SIT3485ISO 收发器并接在同一通信总线上。 可实现 500Kbps 以上的无差错数据传输。

SIT3485ISO 具备失效安全 (fail-safe)、 限流保护、 过压保护和过热保护等功能。

## 引脚分布图

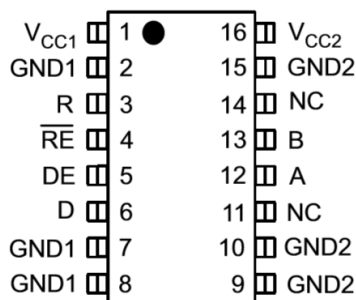


图 1 SIT3485ISO 引脚分布图

**极限参数**

参数	符号	大小	单位
电源电压	$V_{CC1}, V_{CC2}$	-0.5~+6	V
控制端口电压	/RE, DE, D	-0.5~ $V_{CC1}+0.5$	V
接收器输出电流	$I_O$	-10~+10	mA
总线侧输入电压	A、B	-15~+15	V
最大结温		150	°C
存储工作温度范围		-65~150	°C

最大极限参数值是指超过这些值可能会使器件发生不可恢复的损坏。在这些条件之下是不利于器件正常运作的，器件连续工作在最大允许额定值下可能影响器件可靠性，所有的电压的参考点为地。

**引脚定义**

引脚序号	引脚名称	引脚功能
1	$V_{CC1}$	电源， $V_{CC1}$
2	GND1	电源 $V_{CC1}$ 的接地点
3	R	接收器输出端。当/RE 为低电平时，若 $A-B \geq 200\text{mV}$ ，R 输出为高电平；若 $A-B \leq -200\text{mV}$ ，R 输出为低电平。
4	/RE	接收器输出使能控制。当/RE 接低电平时，接收器输出使能，R 输出有效；当/RE 接高电平时，接收器输出禁能，R 为高阻态；/RE 接高电平且 DE 接低电平时，器件进入低功耗关断模式。
5	DE	驱动器输出使能控制。 DE 接高电平时驱动器输出有效，DE 为低电平时输出为高阻态； /RE 接高电平且 DE 接低电平时，器件进入低功耗关断模式。
6	D	D 驱动器输入。DE 为高电平时，D 上的低电平使驱动器同相端 A 输出为低电平，驱动器反相端 B 输出为高电平；D 上的高电平将使同相端输出为高电平，反相端输出为低。
7	GND1	电源 $V_{CC1}$ 的接地点
8	GND1	电源 $V_{CC1}$ 的接地点
9	GND2	电源 $V_{CC2}$ 的接地点
10	GND2	电源 $V_{CC2}$ 的接地点
11	NC	无内部连接
12	A	接收器同相输入和驱动器同相输出端
13	B	接收器反相输入和驱动器反相输出端
14	NC	无内部连接
15	GND2	电源 $V_{CC2}$ 的接地点
16	$V_{CC2}$	电源， $V_{CC2}$

**驱动器直流电学特性**

参数	符号	测试条件	最小	典型	最大	单位
驱动器差分输出 (无负载)	$V_{OD1}$		2.7	5	5.5	V
驱动差分输出	$V_{OD2}$	图 2, $R_L = 54 \Omega$	1.5	2.3		V
输出电压幅值的变化 (NOTE1)	$\Delta V_{OD}$	图 2, $R_L = 54 \Omega$	-0.2		0.2	V
输出共模电压	$V_{OC}$	图 2, $R_L = 54 \Omega$	1		3	V
共模输出电压幅值 的变化 (NOTE1)	$\Delta V_{OC}$	图 2, $R_L = 54 \Omega$			0.2	V
高电平输入	$V_{IH}$	DE, D, /RE	2.0			V
低电平输入	$V_{IL}$	DE, D, /RE			0.8	V
逻辑输入电流	$I_{IN1}$	DE, D, /RE	-15		20	$\mu A$
输出短路电流 (VO=HIGH)	$I_{OSDH}$	DE=/RE=D=1 VA=-7V,VB=12V	-250		250	mA
输出短路电流 (VO=LOW)	$I_{OSDL}$	DE=/RE=1,D=0 VA=-7V,VB=12V	-250		250	mA

 (如无另外说明,  $Temp = T_{MIN} \sim T_{MAX}$ ,  $Temp = 25^\circ C$ )

 NOTE1:  $\Delta V_{OD}$  和  $\Delta V_{OC}$  分别是输入信号 D 状态变化时引起的  $V_{OD}$  与  $V_{OC}$  幅值的变化。

**接收器直流电学特性**

参数	符号	测试条件	最小	典型	最大	单位
输入电流 (A, B)	$I_{IN2}$	DE = 0 V, VCC=0 或 5V $V_{IN} = 12 V$			125	$\mu A$
		DE = 0 V, VCC=0 或 5V $V_{IN} = -7 V$	-100			$\mu A$
正向输入阈值电压	$V_{IT+}$	$-7V \leq V_{CM} \leq 12V$			-20	mV
反向输入阈值电压	$V_{IT-}$	$-7V \leq V_{CM} \leq 12V$	-200			mV
输入迟滞电压	$V_{hys}$	$-7V \leq V_{CM} \leq 12V$		30		mV

高电平输出电压	$V_{OH}$	$I_{OUT} = -4\text{mA}$ , $V_{ID} = +200\text{ mV}$	$V_{CC1}-0.4$			V
低电平输出电压	$V_{OL}$	$I_{OUT} = +4\text{mA}$ , $V_{ID} = -200\text{ mV}$			0.4	V
接收端输入电阻	$R_{IN}$	$-7\text{V} \leq V_{CM} \leq 12\text{V}$	96			k $\Omega$
接收器短路电流	$I_{OSR}$	$0\text{ V} \leq V_O \leq V_{CC}$			$\pm 150$	mA

 (如无另外说明,  $\text{Temp} = T_{\text{MIN}} \sim T_{\text{MAX}}$ ,  $\text{Temp} = 25^\circ\text{C}$ )

## 供电电流

参数	符号	测试条件	最小	典型	最大	单位
供电电流	$I_{CC1}$	/RE= 0 or 1, DE = 0 or 1, $V_{CC1}=3.3\text{V}$			4.2	mA
		/RE=0 or 1, DE = 0 or 1, $V_{CC1}=5\text{V}$			4.2	mA
	$I_{CC2}$	/RE= 0 or 1, DE=0, no load			5.8	mA

## 驱动器开关特性

参数	符号	测试条件	最小	典型	最大	单位
输出上升时间	$t_r$	$R_{DIFF} = 60\ \Omega$ , $C_{L1}=C_{L2}=100\text{pF}$ (见图 3 与图 4)		12	28	ns
输出下降时间	$t_f$			12	28	ns
驱动器传播延迟 从低到高	$t_{PLH}$	$R_{DIFF} = 27\ \Omega$ , (见图 3 与图 4)		16	48	ns
驱动器传播延迟 从高到低	$t_{PHL}$			16	48	ns
$ t_{PLH}-t_{PHL} $	$t_{PDS}$			3	13	ns
使能到输出高	$t_{PZH}$	$R_L = 110\ \Omega$ , (见图 5、6)			90	ns
使能到输出低	$t_{PZL}$				90	ns
输入低到禁能	$t_{PLZ}$	$R_L = 110\ \Omega$ ,			85	ns

输入高到禁能	$t_{PHZ}$	(见图 5、6)			85	ns
--------	-----------	----------	--	--	----	----

### 接收器开关特性

参数	符号	测试条件	最小	典型	最大	单位
输出上升时间	$t_r$	$R_{DIFF} = 60 \Omega$ , $C_{L1}=C_{L2}=100pF$ (见图 3 与图 4)			4	ns
输出下降时间	$t_f$				4	ns
接收器 输入到输出传播 延迟从低到高	$t_{RPLH}$	$C_L=15pF$ 见图 7 与图 8		80	160	ns
接收器 输入到输出传播 延迟从高到低	$t_{RPHL}$			80	160	ns
$ t_{RPLH} - t_{RPHL} $	$t_{RPDS}$				30	ns
使能到输出低时间	$t_{RPZL}$	$C_L=15pF$ 见图 7 与图 8		15	40	ns
使能到输出高时间	$t_{RPZH}$	$C_L=15pF$ 见图 7 与图 8		15	40	ns
从输出低到 禁能时间	$t_{PRLZ}$	$C_L=15pF$ 见图 7 与图 8		25	55	ns
从输出高到 禁能时间	$t_{PRHZ}$	$C_L=15pF$ 见图 7 与图 8		25	55	ns

### 功能表

发送器功能真值表

$V_{CC1}$	$V_{CC2}$	INPUT	ENABLE INPUT	OUTPUTS	
		(DI)	(DE)	A	B
PU	PU	H	H	H	L
PU	PU	L	H	L	H
PU	PU	X	L	Z	Z
PU	PU	X	OPEN	Z	Z
PU	PU	OPEN	H	H	L
PD	PU	X	X	Z	Z
PU	PD	X	X	Z	Z
PD	PD	X	X	Z	Z

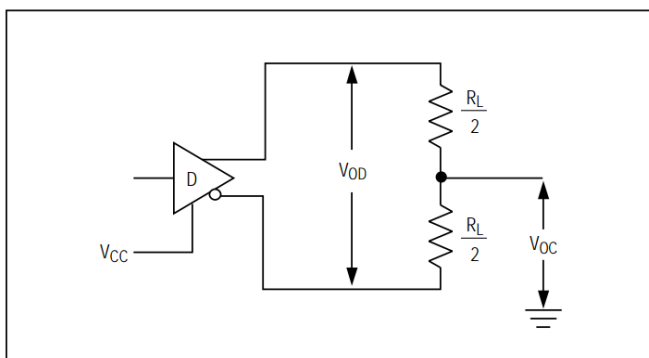
(1) PU = 上电; PD = 断电; H = 高电平; L = 低电平; X = 任意电平; Z = 高阻

**接收器功能真值表**

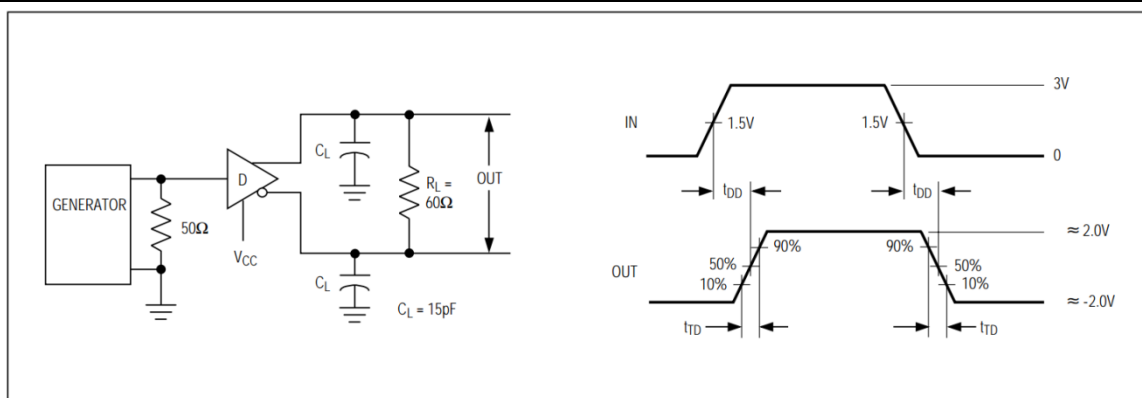
$V_{CC1}$	$V_{CC2}$	差分输入 $V_{ID}=(V_A-V_B)$	使能 (/RE)	输出 (R)
PU	PU	$-0.02V \leq V_{ID}$	L/OPEN	H
PU	PU	$-0.2V < V_{ID} < -0.02V$	L/OPEN	?
PU	PU	$V_{ID} \leq -0.2V$	L/OPEN	L
PU	PU	X	H	Z
PU	PU	Open circuit	L/OPEN	H
PU	PU	Short circuit	L/OPEN	H
PU	PU	idle	L	H
PD	PU	X	X	Z
PU	PD	X	X	H
PD	PD	X	X	Z

(1) PU = 上电; PD = 断电; H = 高电平; L = 低电平; X = 任意电平; Z = 高阻; ? = 不定态

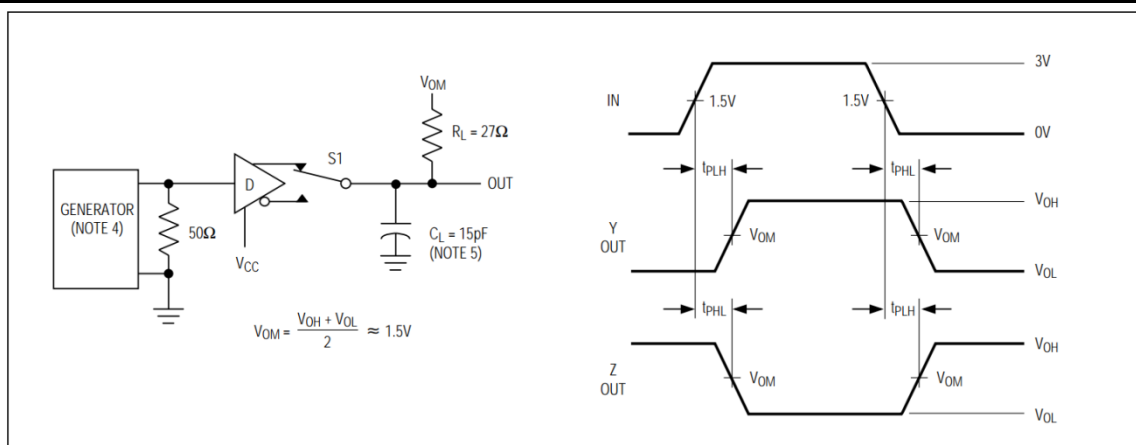
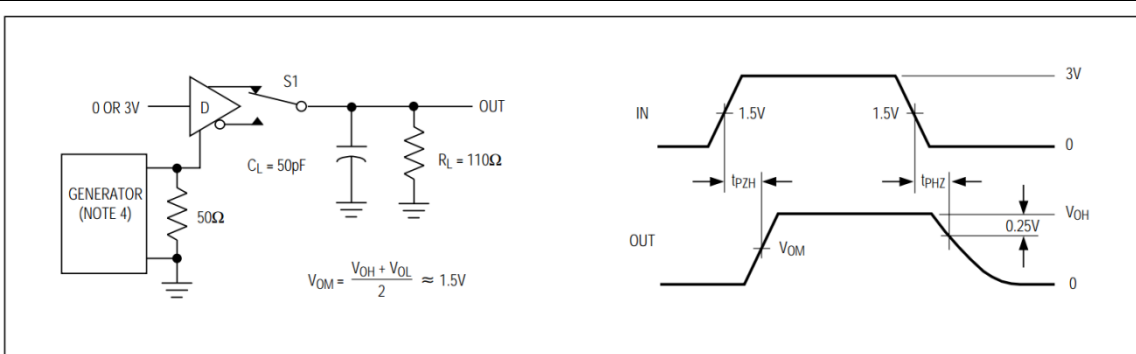
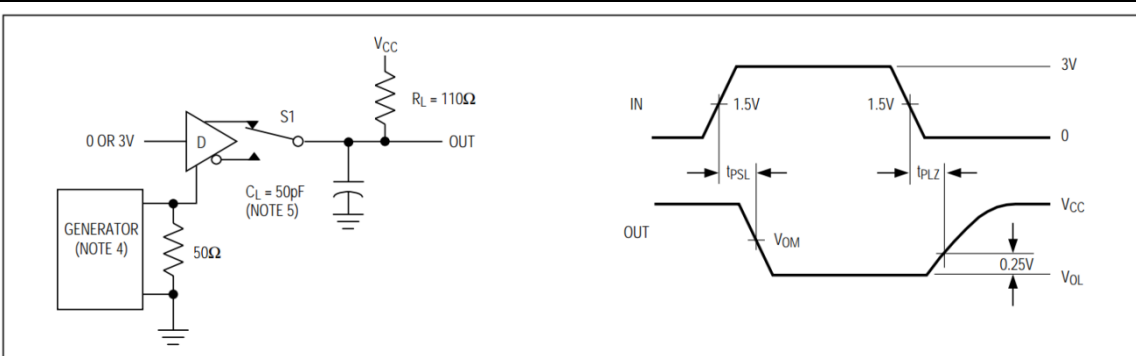
## 测试电路



**图 2 驱动器直流测试负载**



CL 包含探针以及杂散电容（下同）

**图 3 驱动器差分延迟与渡越时间**

**图 4 驱动器传播延迟**

**图 5 驱动器使能与禁能时间**

**图 6 驱动器使能与禁能时间**

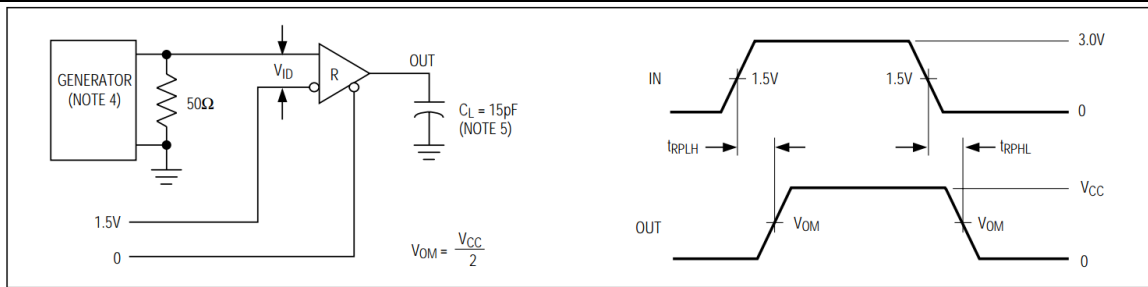


图 7 接收器传播延时测试电路

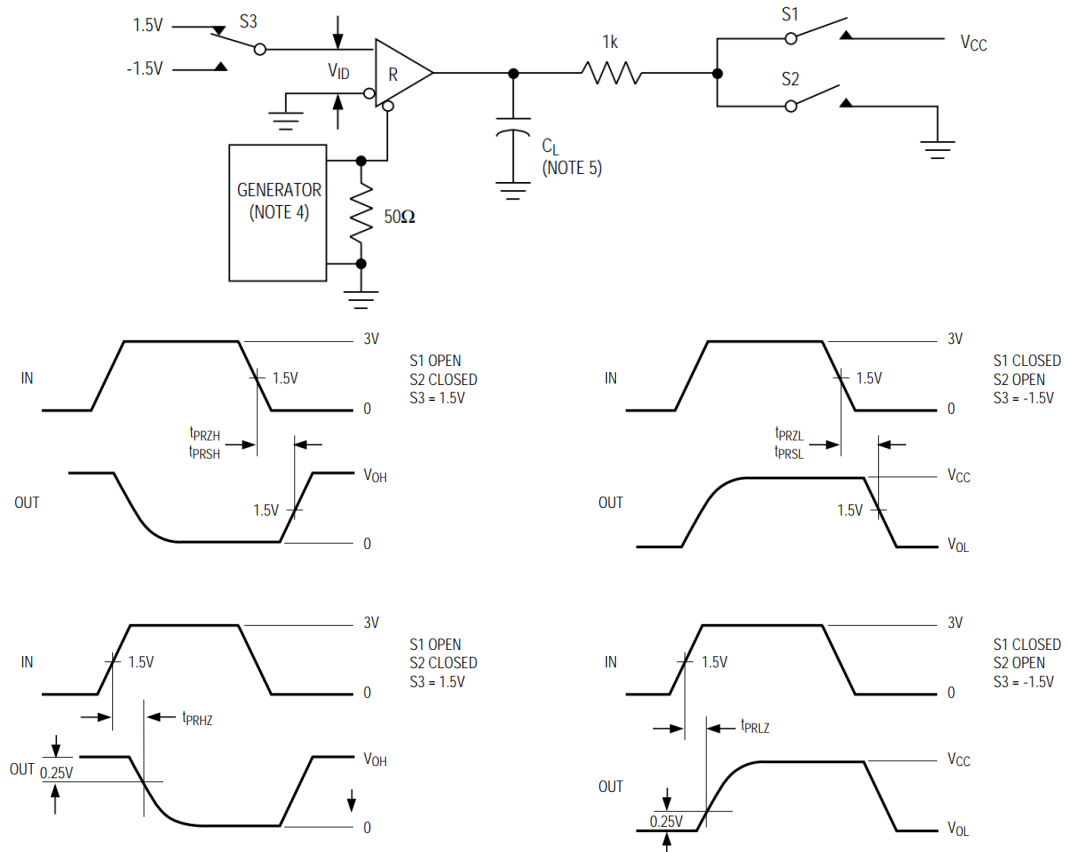


图 8 接收器使能与禁能时间

## 说明

### 1 简述

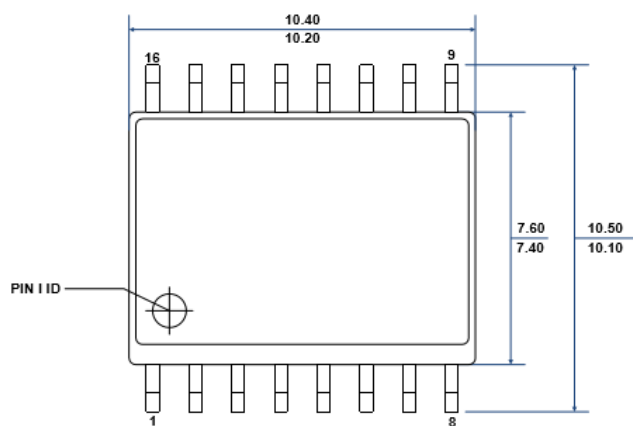
SIT3485ISO 是一款电容隔离的半双工 RS-485 收发器, 总线端口 ESD 保护能力 HBM 达到 15KV 以上, 包含一个驱动器和接收器。具有失效安全, 过压保护、过流保护功能。SIT3485ISO 可实现 500Kbps 以上的无差错数据传输。

### 2 总线上挂接 256 个收发器

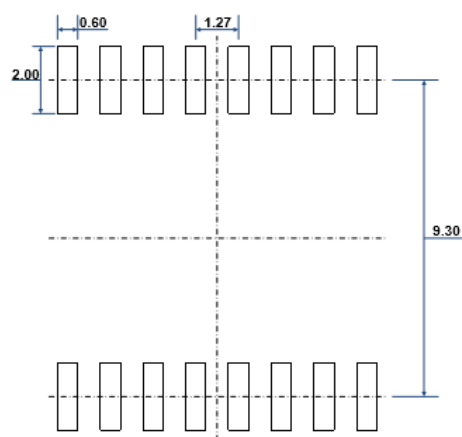
标准 RS485 接收器的输入阻抗为  $12k\Omega$  (1 个单位负载), 标准驱动器可最多驱动 32 个单位负载。SIT3485ISO 收发器的接收器具有  $1/8$  单位负载输入阻抗 ( $96k\Omega$ ), 允许最多 256 个收发器并行挂接在同一通信总线上。这些器件可任意组合, 或者与其它 RS485 收发器进行组合, 只要总负载不超过 32 个单位负载, 都可以挂接在同一总线上。

### 3 驱动器输出保护

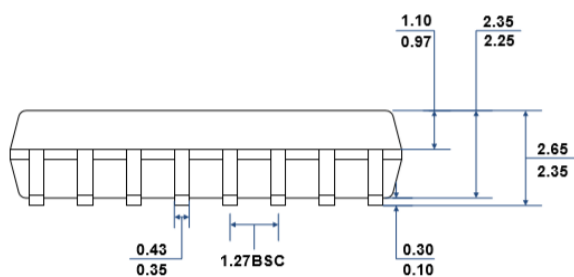
通过过流、过压保护、过热保护机制避免故障或总线冲突引起输出电流过大和功耗过高, 在整个共模电压范围 (参考典型工作特性) 内提供快速短路保护。

**SOIC16-WB 宽体外形**


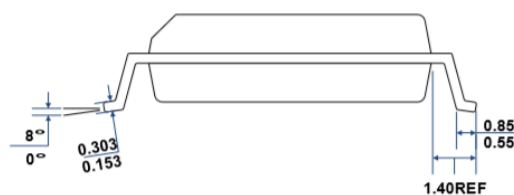
顶视图



推荐的焊区样式



前视图



侧视图

**订购信息**

订购代码	温度	封装
SIT3485ISO	-40°C~125°C	SOPW16, 宽体 SOIC8

编带式包装为 2500 颗/盘

## X-ON Electronics

Largest Supplier of Electrical and Electronic Components

*Click to view similar products for [RS-422/RS-485 Interface IC](#) category:*

*Click to view products by [SIT](#) manufacturer:*

Other Similar products are found below :

[SP3494CN-L/TR](#) [CA-IS3082WX](#) [CA-IS3088WX](#) [CA-IS3092W](#) [XR33038IDTR-F](#) [SIT3485ISO](#) [XR3077XID-F](#) [ADM2687EBRIZ-RL7](#)  
[SP483EEN-L/TR](#) [SN75LBC175ADR](#) [SN65ALS1176DR](#) [MAX489CPD+](#) [MAX3080CPD+](#) [MXL1535EEWI+](#) [SP483EN-L/TR](#) [SP483CN-](#)  
[L/TR](#) [XR3072XID-F](#) [DS16F95J/883](#) [SP1485EEN-L/TR](#) [MAX490ESA+T](#) [ISL3179EIUZ-T7A](#) [ISL3179EIRZ-T7A](#) [ISL3179EFRZ-T7A](#)  
[XR33193ESBTR](#) [XR33194ESBTR](#) [XR3074XID-F](#) [XR3082XID-F](#) [SP3490EN-L](#) [ADM485JN](#) [ADM1485JNZ](#) [ADM2687EBRIZ](#)  
[ADM3491ARZ-REEL7](#) [ADM489ABRZ](#) [ADM3073EARZ](#) [ADM4850ACPZ-REEL7](#) [ADM4853ACPZ-REEL7](#) [ADM485ANZ](#)  
[ADM3072EARZ-REEL7](#) [ADM3075EARZ-REEL7](#) [ADM3486EARZ-REEL7](#) [ADM3493ARZ-REEL7](#) [ADM4856ARZ-REEL7](#)  
[ADM487EARZ-REEL7](#) [ADM1485JRZ-REEL](#) [ADM3490ARZ-REEL7](#) [ADM3490EARZ-REEL7](#) [ADM1485ARZ-REEL](#) [ADM3071EARZ](#)  
[ADM3483EARZ-REEL7](#) [ADM3485EARZ-REEL7](#)